

تحضير الكاربون المنشط النانوي من مخلفات نباتية ومخلفات بوليمرية بتقنية الأشعة المايكروية

د.زهراء عاصم محمود الوتري¹، لينا جمال كويت²، يونس محمد عبد³
جامعة بغداد/ كلية التربية للعلوم الصرفة وزارة التربية ، مديرية تربية ابن الهيثم / قسم الكيمياء¹ الرصافة الأولى ، العراق² بغداد الكرخ الثالثة ، العراق³
³07801730667²07706318027¹07705392135

kuwait@gmail.com zahraa.a.w@ihcoedu.uobaghdad.edu.iq
younismabd@gmail.com

¹Corresponding author: ¹Email: zahraa.a.w@ihcoedu.uobaghdad.edu.iq

مستخلص البحث:

تم تحضير الكاربون المنشط النانوي (NAC) من مخلفات النباتات باستخدام فرن المايكرويف وذلك بخلط نسب مختلفة من قشور الرز مع مخلفات البولي إثيلين واطيء الكثافة (LDPE) وكاربونات البوتاسيوم كعامل تنشيط كيميائي في عملية الكربنة، تم تنفيذ كل من عملية الكربنة والتنشيط عن طريق تشعيع الموجات الدقيقة بقوة 600 واط لمدة 15 دقيقة، وبنسبة وزنية مختلفة لكل من قشور الرز والمخلفات البوليمر. تم قياس المساحة السطحية الخارجية لعينات الكاربون المنشط النانوي المحضرة عن طريق امتصاص صبغة المثنين الأزرق من محلولها المائي، بالإضافة إلى ذلك تم قياس المساحة السطحية الداخلية عن طريق امتصاص اليود من محلوله المائي. تم دراسة مورفولوجيا سطح العينات المحضرة بواسطة مجهر القوة الذرية (AFM) والمجهر الإلكتروني الماسح ذي المجال المنبعث (FSEM)، بالإضافة إلى ذلك، تم قياس الكثافة ومحتوى الرطوبة ومحتوى الرماد للعينات المحضرة. أظهرت النتائج أن زيادة نسبة المخلفات البوليمرية واستخدام الأشعة المايكروية أثناء عملية الكربنة يحسن من مواصفات العينات المحضرة (NAC) ويزيد من كفاءتها وفعاليتها.

الكلمات المفتاحية: اشعاع المايكرويف ، الكاربون المنشط النانوي ، قشور الرز ، التلوث ، الكيمياء الخضراء .

ملاحظة : هل البحث مستل من رسالة ماجستير او اطروحة دكتوراة؟ كلا

المقدمة:

تعتبر تقنية افران المايكرويف هي احدى تقنيات الكيمياء الخضراء وان هذه التقنية تهتم بشكل كبير على انتاج مواد مختلفة لها فوائد متعددة وتدخل في تطبيقات متنوعة بالإضافة الى ان الطرق المتبعية في تحضير المواد النانوية على سبيل المثال فانها تعمل على تقليل من المواد الخطيرة الناتجة كمواد جانبية غير مرغوب بها بالإضافة الى التقليل من تكلفة عملية انتاج المواد النانوية ،لذا فان تقنيات الكيمياء الخضراء تعتبر من الطرق الصديقة للبيئة لذا يمكن من تحضير المواد النانوية دون الاضرار في البيئة وصحة الانسان، وكذلك تعتبر طريقة الاختزال الكيميائي او تقنية المايكرويف او استخدام الموجات فوق الصوتية وغيرها من الطرائق الصديقة للبيئة (1,2) لذا يمكن من تحضير الفحم المنشط النانوي عن طريق تسلیط اشعة مايكروية ذات طاقة ثابتة ورزا من محدد على مخلفات نباتية ومخلفات بوليمرية بوجود عامل التنشيط الكيميائي اثناء عملية الكربنة ومن هذه العوامل الكيميائية المنشطة هي: KOH, NaOH, K₂CO₃ او قد يكون عمل التنشيط حامضيا مثل حامض الفسفوريك وحامض الكبريتิก وهناك العديد من عوامل التنشيط الكيميائي في تحضير الكاربون المنشط ،وعامل

التنشيط له دور مهم في زيادة المساحة السطحية لفجوات الخارجية والداخلية للكاربون المنشط (3). ان المخلفات الزراعية والتلوث الزراعي في زيادة مستمرة نتيجة لزيادة القدرة الانتاجية في تنوع المحاصيل الزراعية في جميع ارجاء العالم مما ادى الى الزيادة من هذه المخلفات (4)، ومن هذه المخلفات الزراعية مثل : قشور الرز و الشوفان والشعير والقمح والذرة وأوراق العيد من نباتات الفاكهة وغيرها ولكن تراكمها ووجودها بكميات كبيرة يمكن أن يسبب آثاراً ضارة على البيئة (5). ومن المظاهر الاخرى للتلوث البيئي هو تراكم مخلفات البوليمرية الناتجة من الاستهلاك البشري في المدن وفي الطرق و تراكمها في الانهار مما يؤدي الى الزيادة من التلوث اليابسة والمياه ومن هذه المخلفات : قناني المياه المعدنية ذات الاستعمال الواحد وحافظات الطعام وفاتيح الكهربائية العاطلة وغيرها ويعتبر كل من البولي اثيلين واطيء الكثافة والبولي ترفلات الاثلين والراتنجات الفورمالديهيد هي من المخلفات الناتجة من الاستهلاك البشري (6)، لذلك يمكن من تحضير اسطح مايكروية ونانوية مازة تستخدم في تنقية المياه من الملوثات العضوية أو غير العضوية المختلفة من هذه المخلفات النباتية والبوليمرية بطريقة صديقة للبيئة (7). ويعتبر الكاربون المنشط بمختلف انواعه من اكثر الاسطح المازة استخداما في تطبيقات معالجة المياه من الملوثات التراكمية المختلفة بتقنية الامتزاز (8). لذا من الممكن ان نعرف الكاربون المنشط هو عبارة عن مادة تتكون من الكاربون بنسبة اعلى من 90% من تركيبه ويمتاز سطحه بوجود العديد من المسامات مختلفة الاحجام مما تعطي مساحة سطحية عالية تتراوح بين (9)(300-2000m²/gm)، ويكون التركيب الجزيئي والبلوري للكاربون المنشط عبارة عن شكل خام من الكرافيت يتتشابه معه في عدد الطبقات وان كل طبقة تتكون من حلقات سداسية متداخلة مع بعضها البعض (11) والكاربون المنشط له بنية عشوائية نتيجة حدوث خلل في تركيبها البلوري مما يسهل اختراقها ونتيجة لهذه التشوّهات غير المتتجانسة يمكن اعتبار الكاربون المنشط مادة صلبة فعالة ونشطة وله انواع واشكال مختلفة ويعتبر الكاربون المنشط النانوي من افضل انواعه (12). ومن المهم التطرق الى اهمية وتطبيقات الكاربون المنشط النانوي سواء كان على شكل انانبيب نانوية او باشكال اخرى ، لذا فالانابيب النانوية الكارbonea لها دور مهم في تعزيز أنظمة الطاقة المتقدمة منذ اكتشافها بواسطه العالم Iijima في عام 1991 والتي تتكون من هيكل انبوبية كرافيتية متعددة المركز يبلغ قطرها في نطاق النانومتر ويصل طولها إلى عدة مليمترات وتتكون من انانبيب نانوية أحادية الجدار وأنابيب نانوية كاربونية متعددة الجدار (13). والأنابيب النانوية الكاربونية لديها مساحات سطحية عالية للغاية، ونسب أبعاد كبيرة، وقوه ميكانيكية عالية بشكل ملحوظ. ويرجع ذلك إلى بنيتها النانوية وقوه الروابط بين ذرات الكاربون وتنتمي الأنابيب النانوية الكاربونية بخصائص كهربائية مميزة، بسبب هيكلها الإلكتروني ومقاومة الشد للأنابيب النانوية الكاربونية عالية ، وتميزت بتوصيله للكهرباء والحرارة عالية جداً تضاهي توصيله النحاس مما جعلها تصنف من ضمن الموصلات الحرارية والكهربائية (14). بالإضافة الى استخدام الأنابيب النانوية في الأجهزة الإلكترونية بما في ذلك الترانزستورات(15). لذا لها تطبيقات واسعة تدخل في صناعة الأجهزة الكهروضوئية، وأجهزة الاستشعار، والأقطاب الكهربائية الشفافة، والمكثفات الفائقية، والمركبات الموصلة ونظرًا لخصائصها الفريدة وتطبيقاتها، أصبحت الأنابيب النانوية الكاربونية ذات تطبيقات واسعة في مجال تكنولوجيا النانو وطب النانو والبيئة (16)، وكذلك استخدمت في تخزين الطاقة (خلايا الوقود والخلايا الشمسية) ، تنقية المياه ، تنقية الهواء (18).

وكذلك حدثت تطورات جديدة في السنوات الأخيرة عند تلقيح الكربون المنشط النانوي بمساعدة المايكرويف التي تفوق بالنسبة لطرق التسخين التقليدي(13) وتقدم اشعة المايكرويف بدلاً منخفض التكالفة لإنتاج الكربون المنشط النانوي باستخدام درجة حرارة منخفضة (19).

و عند البحث في الابدبيات فقد حضر (20) Hong وجماعته الكربون المنشط من مخلفات النباتات الفطرية بواسطة التنشيط الحراري بالمايكرويف وباستخدام كarbonates البوتاسيوم K_2CO_3 بطاقة اشعاع 520 واط بزمن 16 دقيقة. حضر (21) Zhus وجماعته الكربون المنشط من قشور الفول السوداني بالتسخين بالمايكرويف بطاقة 500.70 واط ووقت الاشعاع 9.8 دقيقة.

و حضر كل من احمد و عباس الكربون المنشط باستخدام K_2CO_3 كعامل منشط في عملية الكربنة وقد وجدوا ان استخدام K_2CO_3 بدلاً من القاعدة KOH ادى الى تحسين مواصفات الكربون المنشط المحضر (22). وحضر Orhan (23) وآخرون الكربون المنشط من قشر بذور عباد الشمس كمادة خام باستخدام $ZnCl_2$ كعامل منشط وطاقة مايكرويف 500 واط ، ووقت المعالجة بالمايكرويف 30 دقيقة . وحضر عبد الباري (24) وآخرون الكربون المنشط من جذع التبغ المتقطع مع استخدام K_2CO_3 كعامل منشط وبواسطة اشعة المايكرويف ذو طاقة 700 واط ووقت 30 دقيقة. إنتاج Tayra (25) وآخرون الفحم المنشط بالمايكرويف باستخدام نفايات اللكتوسيلوز عن طريق التنشيط الكيميائي وباستخدام H_3PO_4 كعامل تنشيط.

الجزء العملي

المواد الكيميائية: جميع المواد الكيميائية التي استخدمت في البحث ادرجت في جدول رقم (1)

جدول رقم (1): المواد الكيميائية المستخدمة والمخلفات النباتية والبوليمرية

الترتيب	المواد الكيميائية	chemical materials
1	كاربونات البوتاسيوم	Potassium Carbonate
2	بوديد البوتاسيوم	Potassium Iodide
3	حامض الهيدروكلوريك	Hydrochloric Acid
4	اليود	Iodine
5	صبغة المثنين الزرقاء	Methylene Blue
6	ثيوسلفات الصوديوم	Sodium Thiosulphate
7	مخلفات البولي اثلين واطيء الكثافة	Low density polyethylene Residue
8	قشور الرز	Rice Husk

الاجهزه المختبريه :

استخدمت مجموعة من الاجهزه المختبريه واهما : فرن المايكرويف ، ميزان حساس ، مسخن كهربائي ذو محرك مغناطيسي ، جهاز مجهر القوة الذريه، المجهر الالكتروني الماسح ، وجهاز مقياس الدالة الحامضية pH .

تحضير الكربون المنشط النانوي

غسلت قشور الرز بالماء العادي لازالة الاتربه والشوائب منه ومن ثم بالماء المقطر عدة مرات وجفت عند درجة حرارة 100 ° م لمندة 2 ساعه ومن ثم سحقت سحقا ميكانيكيا لانتاج مسحوق قشور الرز . مزج مسحوق قشور الرز مع 0.5g من كarbonates البوتاسيوم، ومن ثم اضيفت المخلفات البوليمرية بعد ما عوملت المخلفات البوليمرية حراريا عند درجة 250 ° م لمندة ساعه واحدة ومن ثم

بردت وطحنت للحصول على مسحوق ومزجت بنس ب المختلفة مع مسحوق قشور الرز وكانت النسب (1:0.02، 1:0.04، 1:0.06، 1:0.08، 1:0.1، 1:0.12، 1:0.14، 1:0.16، 1:0.18، 1:0.2، 1:0.2، 1:0.18، 1:0.16، 1:0.1، 1:0.08، 1:0.06، 1:0.04). على التوالي . ووضع المزيج في فرن المايكرويف لمدة 15 دقيقة عند (600) واط لحين اكتمال عملية الكربنة والتنشيط داخل المايكرويف ثم تركت النماذج لتبرد للوصول الى درجة حرارة الغرفة واجريت لها عملية الغسل والتغذية ومن ثم اجراء القياسات والفحوصات للنماذج المحضرة (20).

ومن ثم غسلت جميع نماذج الكاربون المنشط النانوي بالماء المقطر عدة مرات لحين ازاله بقايا المادة التنشيط القلوية، ثم وضعن النماذج في دورق واضيف له (70ml) من (20%) محلول حامض الهيدروكلوريك ووضع في جهاز تصعيد لمدة ساعة واحدة ومن ثم رشح وغسل بالماء المقطر عدة مرات لحين الوصول الى (7.00-6.5)pH. وجفف الناتج بدرجة حرارة 110 ° م لمندة (4) ساعات وحفظ بمعزل عن الهواء.(26)

مواصفات الكاربون المنشط النانوي وفعاليته

اولا: قياس المساحة السطحية الداخلية للكاربون المنشط النانوي (27)

تعتبر هذه الطريقة من الطرق المستخدمة لغرض اجراء القياسات على المساحة السطحية الداخلية ويعبر عنها بعدد المليغرامات من اليود الممتاز بواسطة 1 غم من الكاربون المنشط النانوي.

وبحسب وزن اليود الممتاز بتطبيق المعادلة (1).

$$X = A - (2.2 B * V \text{ ml}) \quad (1)$$

اما الرقم اليوبي، فيتم حسابه من المعادلة(2)

$$I.N = \frac{X}{M} * D \quad (2)$$

ثانيا: قياس المساحة السطحية الخارجية للكاربون المنشط النانوي (28)

تعرف قيمة المثيلين الزرقاء بانها عدد المليغرامات التي يتم ازالتها من صبغة المثيلين الزرقاء من محلولها. وتم اجراء القياس حسب الجمعية الامريكية للفحص والمواد (ASTM)

ثالثا : قياس كثافة الكاربون المنشط النانوي (29)

حسبت كثافة النماذج المحضرة وفقا للمعادلة (3)

$$\text{Density g/cm}^3 = \text{mass/volume} \quad (3)$$

رابعا: قياس النسبة المئوية للرطوبة (30)

اخذ وزن g 0.5 من نماذج الكاربون المنشط النانوي المحضر، ووضع في فرن عند درجة حرارة 110 ° م لمندة 3 ساعات، ومن فرق الأوزان حسبت النسبة المئوية للرطوبة

خامسا: نسبة الرماد (31)

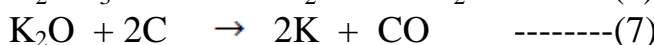
تم وضع 0.5g من الكاربون المنشط النانوي في جفنة خزفية ووضعت الجفنة في فرن الحرق عند 1000 ° م ولمدة 4 ساعه ثم برد النموذج ومن ثم وزن النموذج ومن فرق الأوزان حسبت النسبة المئوية للرماد كما في معادلة (4) .

$$\text{Ash\%} = W_1 - W_2 * 100 \quad (4)$$

النتائج والمناقشة

تعتبر كاربونات البوتاسيوم (K_2CO_3) العامل المنشط الكيميائي في تحضير الكاربون المنشط النانوي المحضر بهذا البحث لانه يعمل على الزيادة من الكتلة الكارbone وفعالية السطح المحضر وبالتالي الزيادة من قابلية السطح لامتصاص صبغة المثيلين الزرقاء فضلا على ان كاربونات البوتاسيوم

لا يوجد فيه سمية مقارنة مع العوامل المنشطة الاخرى مثل القاعدة (NaOH) (32) ويمكن تمثيل عمل العامل المنشط خلال عملية الكربنة بالعادلات (6,5، 7)، حيث يعمل كل من CO_2 ، CO ، عوامل منشطة اثناء عملية الكربنة مما يزيد من الفجوات المخلقة على سطح المادة المترکبنة مما يزيد من كفاءة النماذج المحضرة (32، 33).



درجت اهم النتائج في الجدول رقم (2) لتحديد كفاءة وفعالية النماذج المحضرة، من خلال اجراء القياسات العالمية لمواصفات الكاربون المنشط، لذا ان جميع النماذج حضرت باضافه نسب مختلفه من مخلفات البولي اثيلين واطيء الكثافة مع وزن ثابت لكل من العامل المنشط والمادة الخام وأجريت عملية الكربنة تحت ظرف ثابت من خلال تسلیط اشعة مايكروية ذات طاقة (600) واط لمدة (15) دقيقة . لذا نلاحظ ان مقدار العدد اليودي للنماذج تراوح ما بين g/g (753.274-1095.648) و مقدار إمتزاز صبغة المثليل الزرقاء كان ما بين mg/g (332.459-335.967) نستنتج من ذلك بوجود علاقة طردية مع المضاف البوليمرى كلما زادت نسبة الاضافة ادى الى الزيادة من فعالية وكفاءة السطح المحضر للكاربون المنشط النانوي اي ان المضاف البوليمرى ادى الى الزيادة من الكتلة الكاربونية مع فقد جزيئات الماء على شكل بخار ماء بمساعدة الاشعة المايكروية في عملية الكربنة والتنشيط ادى الى تكوين فجوات ومسامات جديدة على سطح المادة المترکبنة وتحسين من صفات الكاربون المنشط النانوي المحضر(34). ونلاحظ في الجدول (2) ان مقدار النسبة المئوية للرطوبة قد تراوحت ما بين (6.734-1.356) % اي توجد هنالك علاقة عكسية تربط ما بين المضاف البوليمرى ونسبة الرطوبة وبصورة عامة كلما نقصت نسبة الرطوبة ادى الى الزيادة من فعالية السطح المحضر ، أما قيم الكثافة تراوحت ما بين gm/cm^3 (0.243 - 0.673) ، نجد أن جميع النماذج المحضرة لها قيم واطئة وكذلك تتناسب طرديا مع المضاف البوليمرى، وكلما زادت كثافة النماذج المحضرة ادى الى الزيادة من فعالية وكفاءة الكاربون المنشط النانوي (35).

ونلاحظ في الجدول ان نسبة الرماد تراوحت القيم ما بين (2.258 - 3.873) % ، وهذا ما يؤكد على كفاءة وجودة الكاربون المنشط النانوي المحضر لأن نسبة الرماد لجميع النماذج ضئيلة مما يحسن من كفاءة وفعالية النماذج المحضرة (35).

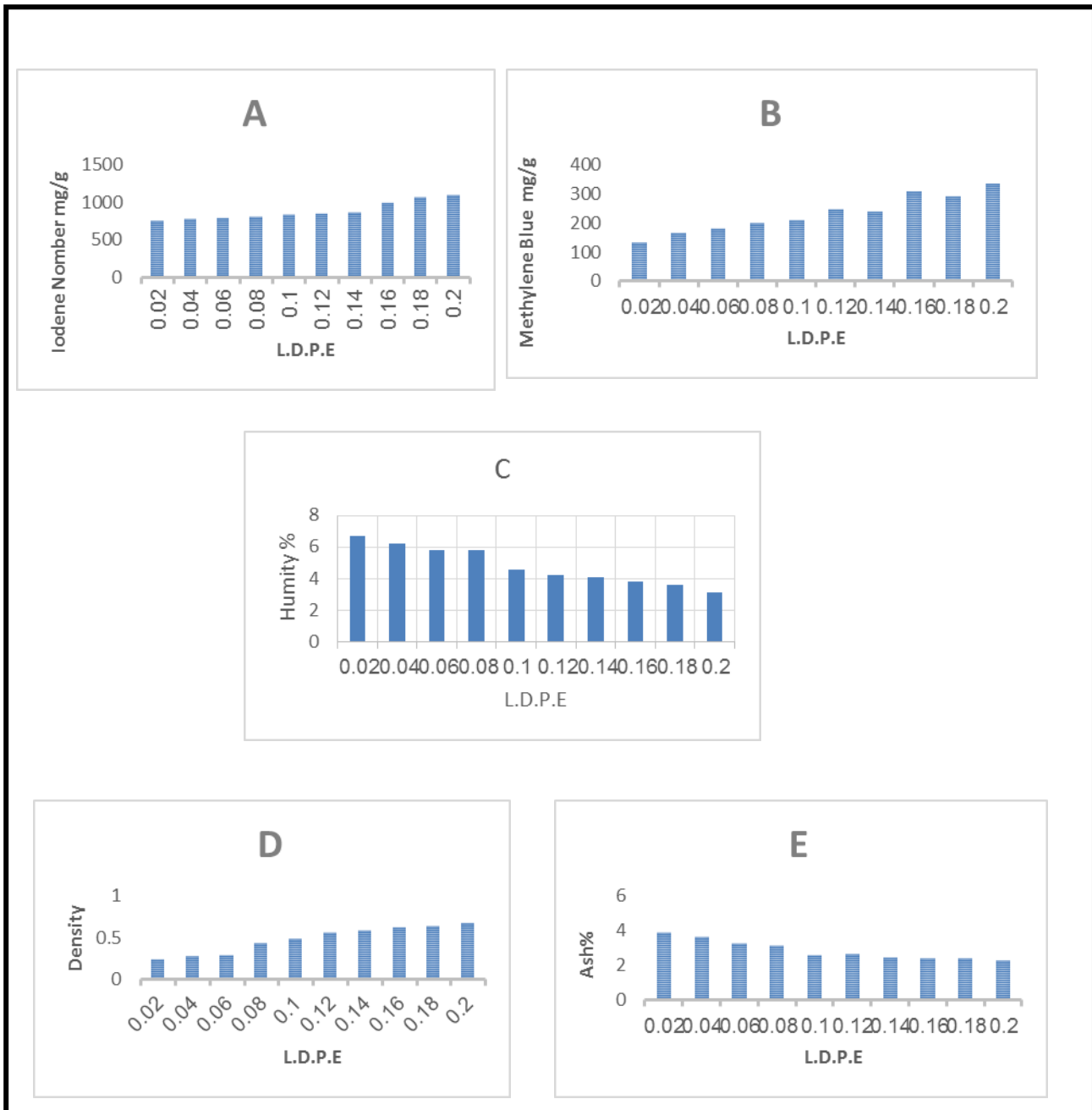
ان النموذج (N. A.C₁₀) من افضل النماذج المحضرة من حيث كفاءة وفعالية السطح المنشط بالمقارنة مع السطح للنماذج المحضرة الاخرى لانه يمتلك اكبر قيمة من المساحة السطحية الخارجية والداخلية كما هو مبين في جدول رقم (2).



جدول رقم (2) : مواصفات نماذج الكاربون المنشط من قشور الرز ومخلفات البولي اثيلين واطيء الكثافة مع تسلیط أشعة مایکرویہ 600 واط و زمان 15 دقیقة.

Sample	Wood with L.D.P.E	Iodine No. (mg/g)	Methylene Blue (mg/g)	Humidity (%)	Density (g/cm ³)	Ash (%)
N.A.C ₁	1: 0.02	753.274	132.459	6.734	0.234	3.873
N.A.C ₂	1: 0.04	780.587	165.843	6.219	0.273	3.652
N.A.C ₃	1: 0.06	795.896	179.998	5.829	0.286	3.248
N.A.C ₄	1: 0.08	810.678	198.532	5.778	0.432	3.152
N.A.C ₅	1: 0.1	833.545	210.467	4.569	0.479	2.569
N.A.C ₆	1: 0.12	848.987	245.632	4.216	0.557	2.634
N.A.C ₇	1: 0.14	867.294	240.564	4.073	0.585	2.421
N.A.C ₈	1: 0.16	998.534	310.672	3.785	0.617	2.385
N.A.C ₉	1: 0.18	1060.223	290.548	3.574	0.641	2.356
N.A.C ₁₀	1: 0.2	5.648	335.967	3.156	0.673	2.258

ويمثل الشكل رقم (1) المعالجة الاحصائية لنسب مخلفات البولي اثلين واطئ الكثافة مع كل مواصفة أجريت على جميع نماذج الكاربون المنشط النانوي المحضر.



الشكل رقم (1) : مواصفات الكاربون المنشط المحضر مع البولي اثلين واطئ الكثافة

مجهر القوة الذرية

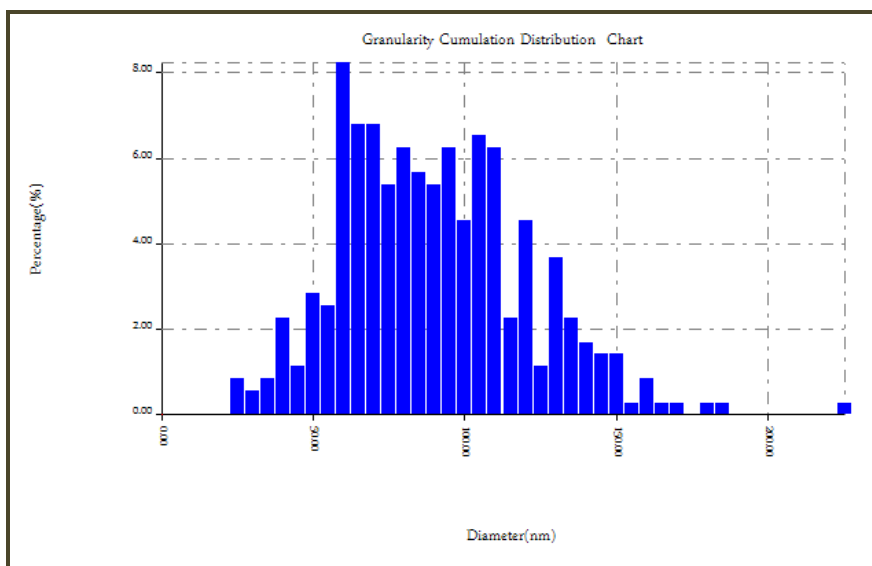
شخصت سطح المادة الاولية (مسحوق قشور الرز) وافضل نموذج من الكاربون المنشط النانوي المحضر بهذا البحث بواسطة المجهر القوة الذرية، اذ ان مجهر القوة الذرية يعتبر أداة قياس جيدة وذات قدرة تحليلية عالية في وصف السطح، حيث يعتبر الاكثر استخداماً كاداة قياس على المستوى النانوي (36).

للحظ في جدول رقم (3) ان معدل الاقطرار لحببيات لمادة الاولية كانت (87.52 nm) وترواحت الاقطرار لحببيات المادة الاولية من النسبة العليا الى النسبة الدنيا بالترتيب – (50.00 – 125.00) nm ويمثل الشكل رقم (3) المعالجة الاحصائية لمسحوق قشور الرز.

جدول رقم (3): قيم الاقطرار السائدة لسطح قشور الرز

nm52.87Avg. Diameter:	.00 nm50<=10% Diameter:
.00 nm80<=50% Diameter:	5.00 nm12<=90% Diameter:

Diameter(nm)<	Volum e(%)	Cumulat ion(%)	Diamete r(nm)<	Volum e(%)	Cumulat ion(%)	Diamete r(nm)<	Volum e(%)	Cumulat ion(%)
25.00	0.85	0.85	80.00	6.23	44.48	135.00	2.27	92.92
30.00	0.57	1.42	85.00	5.67	50.14	140.00	1.70	94.62
35.00	0.85	2.27	90.00	5.38	55.52	145.00	1.42	96.03
40.00	2.27	4.53	95.00	6.23	61.76	150.00	1.42	97.45
45.00	1.13	5.67	100.00	4.53	66.29	155.00	0.28	97.73
50.00	2.83	8.50	105.00	6.52	72.80	160.00	0.85	98.58
55.00	2.55	11.05	110.00	6.23	79.04	165.00	0.28	98.87
60.00	8.22	19.26	115.00	2.27	81.30	170.00	0.28	99.15
65.00	6.80	26.06	120.00	4.53	85.84	180.00	0.28	99.43
70.00	6.80	32.86	125.00	1.13	86.97	185.00	0.28	99.72
75.00	5.38	38.24	130.00	3.68	90.65	225.00	0.28	100.00



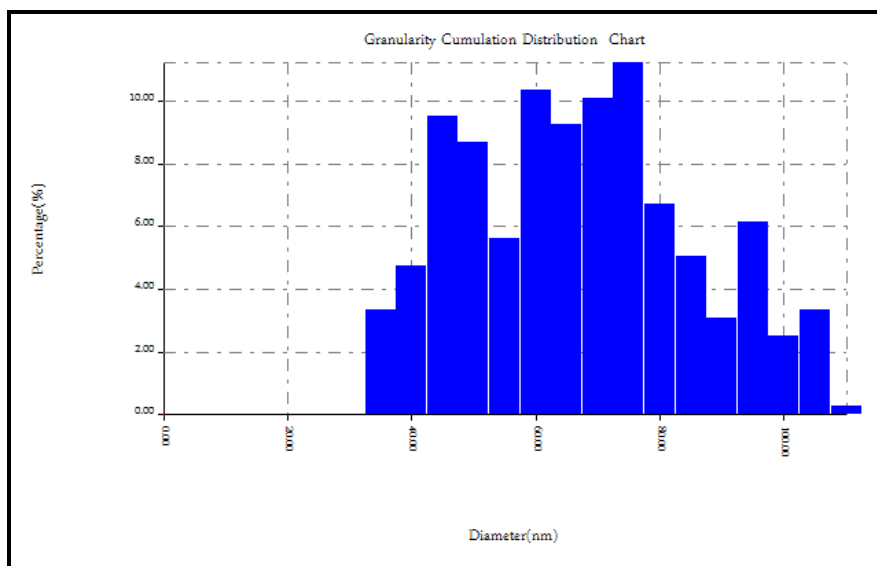
شكل رقم (2): المعالجة الإحصائية لسطح قشور الرز

وعند إضافة مخلفات بولي اثيلين واطىء الكثافة في عملية الكربنة والتثبيط . فإن معدل الأقطار لحبوب سطح النموذج كان عند 64.68nm (64.68) وترواحت اقطار الحبوب للنموذج من النسبة العليا وصولا الى النسبة الدنيا بالترتيب nm (90.00 – 40.00) كما موضح في الجدول رقم (3)، ويمثل الشكل رقم (3) المعالجة الإحصائية لسطح النموذج المحضر من الكاربون المنشط النانوي بوجود المضاف البوليمرى. ومن نتائج جدول (2) وجدول (3) والأشكال (2) و (3) نجد ان معدل حجم القطر الحببى لحبوب سطح النموذج المحضر اقل بكثير من معدل الحجم الحببى للمادة الخام وان معظم حبوب سطح النموذج المحضر يقع ضمن المدى النانوى عكس تماما للحجم الحببى للمادة الاولية مما يزيد من كفاءة وجودة السطح المحضر .

جدول رقم (3) مقدار الأقطار المتواجدة لسطح الكاربون المنشط النانوى بوجود بولي اثيلين واطىء الكثافة لنموذج NAC₁₀

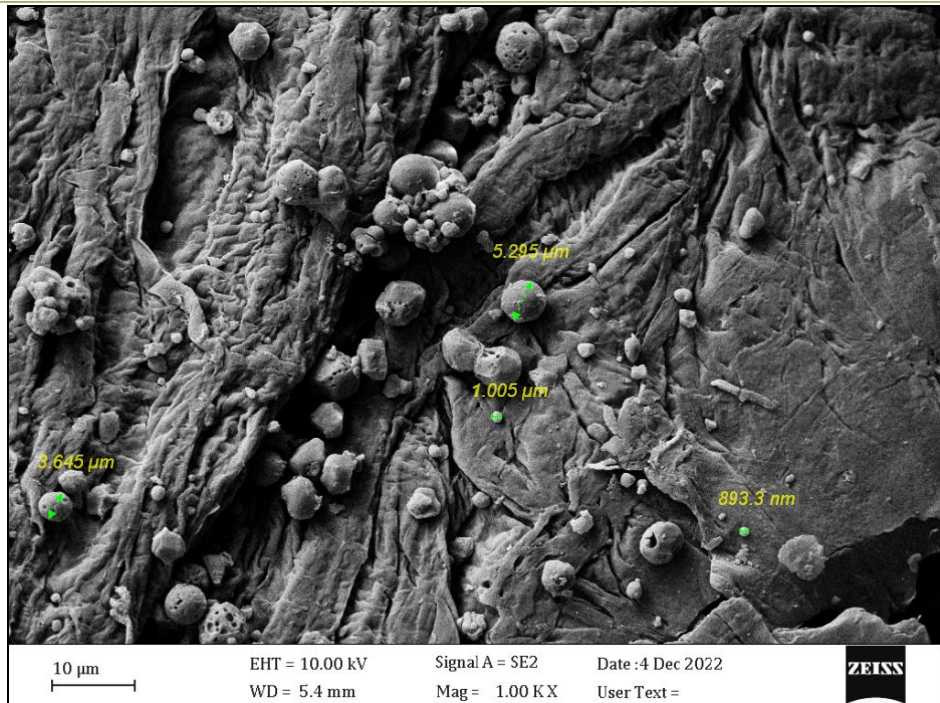
Avg. Diameter: 64.68 nm	<=10% Diameter: 40.00 nm
<=50% Diameter: 60.00 nm	<=90% Diameter: 90.00 nm

Diameter(nm)<	Volume(%)	Cumulation(%)	Diameter(nm)<	Volume(%)	Cumulation(%)	Diameter(nm)<	Volume(%)	Cumulation(%)
35.00	3.36	3.36	65.00	9.24	51.54	95.00	6.16	93.84
40.00	4.76	8.12	70.00	10.08	61.62	100.00	2.52	96.36
45.00	9.52	17.65	75.00	11.20	72.83	105.00	3.36	99.72
50.00	8.68	26.33	80.00	6.72	79.55	110.00	0.28	100.00
55.00	5.60	31.93	85.00	5.04	84.59			
60.00	10.36	42.30	90.00	3.08	87.68			

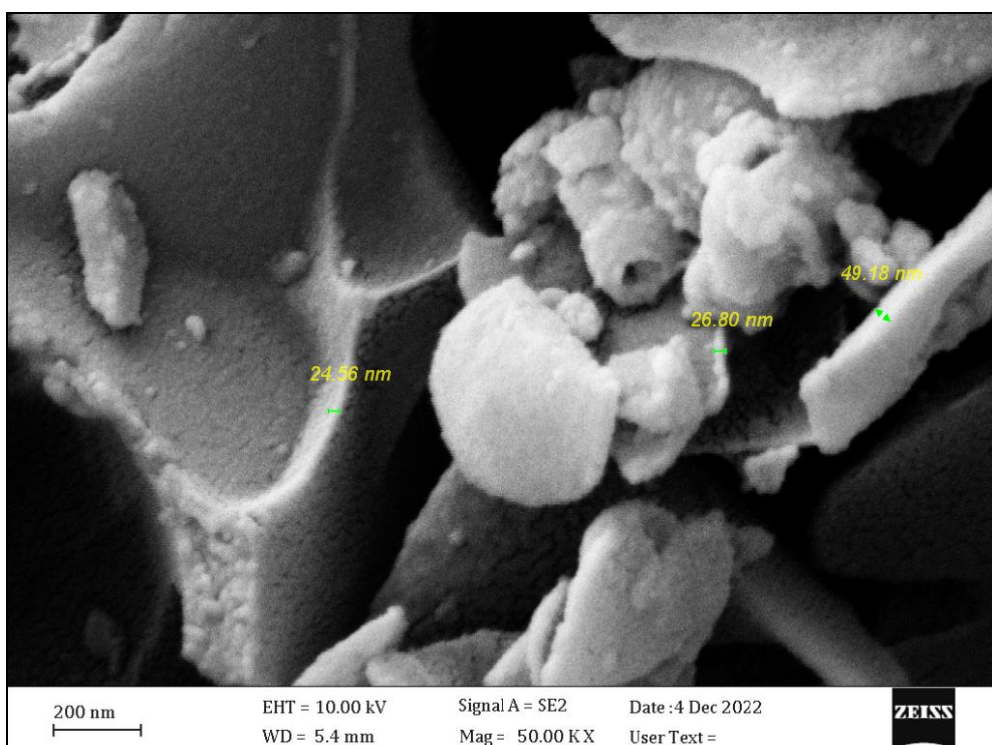


شكل رقم (3) المعالجة الإحصائية لجزيئات سطح الكربون المنشط النانوي نموذج NAC_{10} المجهر الإلكتروني الماسح ذو المجال المنبعث (37)

يعتبر المجهر الإلكتروني الماسح ذو المجال المنبعث هو أحد أنواع المجاهر الإلكترونية التي تمتلك دقة عالية في دراسة شكل السطح حيث يعمل على تصوير سطح النموذج ، نلاحظ من الجدول رقم (4) والصور الناتجة من المجهر في الشكل رقم (4) والتي تمثل شكل السطح لمسحوق قشور الرز ان جزيئات السطح لها اربع اقطار تقع ضمن المدى المايكروي في حين نلاحظ في الشكل رقم (5) والذي يمثل شكل السطح لنموذج الكربون المنشط النانوي المحضر ان جميع الاقطار للسطح في المدى النانوي ،لذا تعتبر طريقة تحضير الكربون المنشط النانوي بوجود المضاف البوليمرى مع عامل التنشيط الكيميائى والأشعة المايكروية المستخدمة في عملية الكربنة والتنشيط ادت هذه العوامل مجتمعة في تحضير سطح نانوى ذي كفاءة عالية وبطريقة صديقة للبيئة وغير مكلفة .



شكل رقم (4): صورة (FSEM) لسطح قشور الرز



شكل رقم (5): صورة (FSEM) لسطح الكاربون المنشط الناتئي المحضر

جدول رقم (4): يوضح أقطار المادة الخام والكاربون المنشط النانوي المحضر

Sam.	D1	D2	D3	D4
Wood	383.3 nm	1.005µm	3.645µm	5.295
N.A.C ₁₀	24.56 nm	28.80 nm	49.18 nm

الاستنتاجات والتوصيات:

حضر الكاربون المنشط النانوي بطريقة غير مكلفة وصديقة للبيئة فضلاً عن استغلال المخلفات المطروحة في البيئة وانتاج مادة ذات كفاءة وفعالية عالية ويمكن من استخدامها في تطبيقات مختلفة. وحددت كفاءة النماذج المحضرة من خلال اجراء الفحوصات والقياسات كامترارز صبغة المثيلين الزرقاء واليود من محلولهما المائي والكتافة ومحتوى الرطوبة ومحتوى الرماد فضلاً عن تشخيصها بتقنيات (AFM)،(FSEM).

References

- 1-Rani, K. and Sridevi, V. (2017). An Overview on Role of Nanotechnology in Green and Clean Technology. Austin Environ Sci .; 2(3) :1026.
- 2- Kadirvelu , K. Kavipriya , M. Karthika , C. and other (2003), Utilization of various agricultural Wastes for activated carbon preparation and application for removal of dyes and metal ions from aqueous solutions 129 - 132
- 3- yousuf, O. and Haider, A.K. (2024), “Synthesis Characterization of Acidic Activated Carbon from corncobs for Adsorption Desulfurization of simulated crude oil”,journal of Ecological Engineering , Vol.25 No. 8, pp.141-150.
- 4- Muhammad, S., et al.,(2022). Insights into Agricultural-Waste-Based Nano-Activated Carbon Fabrication and Modifications for Wastewater Treatment Application. Agriculture, 12(10): p. 1737.
- 5- Rizal, S., et al., (2021).Isolation of textile waste cellulose nanofibrillated fibre reinforced in polylactic acid-chitin biodegradable composite for green packaging application. Polymers, 13(3): p. 325.
- 6- Alaa, A.H, Hala, S. J and Ebtehag, Z. S.(2024). Carbonation of Olive seed shells Using a Strong base and a Study of Carbonation Products and Their effect on the Specifications of Prepared Crbon, International Journal of Applied Science and Technology, Vol.6 No. 1, pp.231-239
- 7- Kim, S., et al., Review of adsorption–membrane hybrid systems for water and wastewater treatment, (2022). Chemosphere, 286: p. 131916.
- 8- Panahi, Y., et al.,(2018). Biotechnological applications of nanomaterials for air pollution and water/wastewater treatment, Materials Today: Proceedings, 5(7): p. 15550-15558.
- 9- Cheremisinoff, N. P. Handbook of industrial toxicology and hazardous materials, (1999). CRC, Press.

- 10 - Leimkuehler, E. P., (2010). University of Missouri--Columbia,.
- 11- Shaukat, S., Progress in Biomass and Bioenergy Production. (BoD- Books on Demand, 2011).
- 12- Alatalo, S.-M., Hydrothermal carbonization in the synthesis of sustainable porous carbon materials. (2016).
- 13- Omoriyekomwan, J.E., et al.,(2021).A review on the recent advances in the production of carbon nanotubes and carbon nanofibers via microwave-assisted pyrolysis of biomass. Fuel Processing Technology, 214: p. 106686.
- 14- Rahman, G., et al.,(2023). An overview of the recent progress in the synthesis and applications of carbon nanotubes. C, 5(1): p. 3.
- 15-Popov, V.N., (2004). Carbon nanotubes: properties and application. Materials Science and Engineering: R: Reports, 43(3): p. 61-102.
- 16-Abdalla, S., et al., (2015). Different technical applications of carbon nanotubes. Nanoscale research letters, 10: p. 1-10.
- 17-Ibrahim, K.S.,(2023). Carbon nanotubes properties and applications: A review. Carbon letters, 14(3): p. 131-144.
- 18-Baghel, P. and P. Kaushal,(2022). Rapid synthesis of carbon nanotubes from Prosopis Juliflora biochar using microwave irradiation. Materials Science and Engineering: B :286 .p. 115987.
- 19-Hidalgo, P., et al., (2019). Synthesis of carbon nanotubes using biochar as precursor material under microwave irradiation. Journal of environmental management, 244: p. 83-91.
- 20-Xiao, H., et al., (2012). Preparation of activated carbon from edible fungi residue by microwave assisted K_2CO_3 activation—application in reactive black 5 adsorption from aqueous solution. Bioresource Technology, 111: p. 127-133.
- 21-Zhong, Z.-Y., et al., (2012). Preparation of peanut hull-based activated carbon by microwave-induced phosphoric acid activation and its application in Remazol Brilliant Blue R adsorption. Industrial Crops and Products, 37(1): p. 178-185.
- 22-Abbas,A.F.,Ahmed, M.J. (2016).Mesoporous activated carbo stones(*Phoenixdactylifera L.*) by one-step microwave assisted K_2CO_3 pyrolysis., J Water Process Eng 9:201–207.
- 23-Baytar,O., Şahin,Ö. And Saka,C., (2018). Sequential application of microwave and conventional heating methods for preparation of activated carbon from biomass and its methylene blue adsorption. Applied Thermal Engineering, 138: p. 542-551.

- 24-Ahmad, A.A., Al-Raggad,M. and Shareef, N.,(2021). Production of activated carbon derived from agricultural by-products via microwave-induced chemical activation: a review. *Carbon Letters.*, 31: p. 957-971.
- 25-Brazil, T.R., et al., (2022). Microwave-assisted production of activated carbon in an adapted domestic oven from lignocellulosic waste. *Biomass Conversion and Biorefinery*, p. 1-14.
- 26- Nasution, H., et al., (2022). Extraction and isolation of cellulose nanofibers from carpet wastes using supercritical carbon dioxide approach. *Polymers*, 14(2): p. 326.
- 27- Association, A. W., (1974). AWWA standard for granular activated carbon: AWWA standard no. B 604-74. *J. Am. Wat. Wks Ass.* 66, 672-681.
- 28- Association, A. W.,(1974). AWWA standard for granular activated carbon: AWWA standard no. B 604-74. *J. Am. Wat. Wks Ass.* 66, 672-681 .
- 29- Ali, M. M., Fatthee, F. E., AbdulkarimThunoon, A.(2019). Preparation of Activated Carbon from (*Punica granatum*. sp) Wood by Chemical Treatment Using Potassium Hydroxide. *Tikrit Journal of Pure Science* 24, 45-50 .
- 30- Banerjee, S., Chattopadhyaya, M .,(2017). Adsorption characteristics for the removal of a toxic dye, tartrazine from aqueous solutions by a low cost agricultural by-product. *Arabian Journal of Chemistry* 10, S1629-S1638 .
- 31- ASTM D2866-70, (1916). Total Ash Content of Activated Carbon .
- 32-Foo, K., Hameed, B.,(2012).Preparation of activated carbon by microwave heating of Langat (*Lansium domesticum*) empty fruit bunch waste. *Bioresour Technol* 116:522–525. <https://doi.org/10.1016/j.biortech.03.123>
- 33- Foo, K., Hameed, B., (2022). Preparation, characterization and evaluation of adsorptive properties of orange peel based activated carbon via microwave induced K_2CO_3 activation., *Bioresour Technol*, 04:679–686. <https://doi.org/10.1016/j.biortech.2011.10.005>



- 34- Nabais, J. V., Carrott, P., Carrott, M. R., (2014). Preparation and modification of activated carbon fibres by microwave heating., Carbon 42, 1315-1320.
- م.ص.، (2012). تحضير الكربون المنشط من الزيوت المستهلكة ، و احمد، - حمدون، ع.351. 25(59): p. 44-58
- 36- Maraghechi, S., et al.,(2018).Correction of scan line shift artifacts in scanning electron microscopy: an extended digital image correlation framework. Ultramicroscopy, 2018. 187: p. 144-163.
- 37- Joseph, G., (2003). Scaning Electron Microscopy and X-Ray978-0-Microscopy.Spring.ISBN 306-47292-3.



Preparation of Nano Activated Carbon from Plant Residues and Waste polymers by Microwave Technology

¹Zahraa A. Alwittry²Lena J. Kuwait³Younus Mohammed Abed

¹Department of Chemistry²Ministry of Education, Directorate³Ministry of College of Pure Science of Education Rusafa first^{*}Iraq . Education, Ibn Al-Haitham^{*}University Directorate of Baghdad^{*}Iraq. of Education AL-karh third^{*}Iraq.

zahraa.a.w@ihcoedu.uobaghdad.edu.iq , kuwait@gmail.com , younismabd@gmail.com

¹Corresponding author:¹Email: zahraa.a.w@ihcoedu.uobaghdad.edu.iq

Abstract:

Nano-activated carbon (NAC) was prepared from plant waste using a microwave oven by mixing different proportions of rice husks with low-density polyethylene (LDPE) waste and potassium carbonate as a chemical activation agent in the carbonization process, both carbonization and activation processes were carried out by irradiating microwaves at 600 W for 15 minutes. And The different weight ratios of rice husks and polymer waste. The external surface area of the prepared NAC samples was measured by adsorption of methylene blue dye from its aqueous solution method, in addition, the internal surface area was measured by adsorption of iodine from its aqueous solution. The surface morphology of the prepared samples was studied by atomic force microscope (AFM) and field emission scanning electron microscope (FSEM). In addition, the density, moisture content, and ash content of the prepared samples have also been measured. The results showed, That increasing the polymeric residue percentage during the carbonization process improves the specifications of the prepared (NAC) samples and increases their efficiency and effectiveness.

• Nano active carbon, Rice husk, Pollution,

Key Words: Microwave radiation Green Chemistry.